

## ЭКЗОТИЧЕСКИЕ СКВИМИОНЫ

В.Б.Копелиович, Б.Е.Штерн

В  $SU(2)$ -модели Скирма обнаружены классически устойчивые состояния с барионным числом, совпадающим с индексом отображения  $n > 1$ . Распределения по массе этих состояний имеют характерную форму диффузного тора, моменты инерции велики по сравнению с моментом инерции состояния с  $B = 1$ .

Модель Скирма барионов как солитонов кирального поля <sup>1</sup> положила начало подходу к описанию свойств барионов и их взаимодействий, в котором существенную роль играют топологические свойства конфигураций поля <sup>2-4</sup>. Было установлено, что для барионного числа  $B = 1$  абсолютный минимум энергии достигается на конфигурации типа "ежа", для которой  $SU(2)$ -матрица  $U$ , являющаяся динамической переменной модели, параметризуется одной функцией одной переменной  $F(R)$ ,  $R$  – рассеяние до центра солитона <sup>5</sup>. Для  $B > 1$  энергия конфигураций такого типа весьма велика – растет с ростом  $B$  как  $B(B + 0,87)$  <sup>6</sup>.

Как отмечалось ранее <sup>7, 9</sup>, возможны конфигурации иного типа, в частности, такие, в которых киральное поле при изменении азимутального угла  $\varphi$  вращается в целое число раз быстрее относительно оси симметрии,  $z$ , чем радиус-вектор  $R$ . Этому соответствует параметризация  $U = \cos F + i \sin F \vec{r} \vec{\pi}$ ,  $\pi_z = \cos \alpha$ ,  $\pi_x = \sin \alpha \cos n\varphi$ ,  $\pi_y = \sin \alpha \sin n\varphi$ , где  $n$  – целое число (индекс отображения),  $F$  и  $\alpha$  – профильная и угловая функции переменных  $z, r$ ,  $z^2 + r^2 = R^2$ . Частный случай быстро вращающегося скирмиона был рассмотрен в <sup>7</sup>,  $n = 2$ , где было положено  $\alpha = \arctg(r/z)$ , как в сферически симметричном случае. Масса солитона с  $B = 2$  составила для такого анзаца 2,14 от массы солитона с  $B = 1, M_1$ .

Как показывают наши расчеты, в более общем случае, когда конфигурации описываются двумя функциями  $F(z, r)$  и  $\alpha(z, r)$ , масса солитонов с небольшими  $n$  меньше, чем  $nM_1$ , т. е. такие объекты классически устойчивы. Аналогичное свойство имеет место и в других моделях, например, при стабилизации солитона членом шестой степени по произвольным кирального поля (квадратом плотности барионного числа).

В модели Скирма масса статических конфигураций при указанном выборе  $U$  составляет:

$$M = \pi \int r dr dz \left\{ \frac{F^2}{4} \left[ (F, F) + s_F^2 \left( (\alpha, \alpha) + \frac{n^2}{r^2} s_\alpha^2 \right) \right] + \frac{s_F^2}{e^2} \left[ [F, \alpha]^2 + \frac{n^2 s_\alpha^2}{r^2} ((F, F) + s_F^2 (\alpha, \alpha)) \right] + \frac{m_n^2 F^2}{2} \pi (1 - c_F) \right\}, \quad (1)$$

$$(F, F) = F'^2 + \dot{F}^2, [F, \alpha] = F' \dot{\alpha} - \dot{F} \alpha', F' = \partial F / \partial z, \dot{F} = \partial F / \partial t \text{ и т. д.}$$

$$s_F = \sin F, \quad c_F = \cos F, \quad s_\alpha = \sin \alpha.$$

При  $n = 1$  (1) переходит в выражение, которое использовалось нами <sup>4</sup> для изучения взаимодействия скирмионов в аксиально-симметричной конфигурации. Барнионное число системы в указанных обозначениях

$$B = \frac{n}{\pi} \int s_F^2 s_\alpha [\alpha, F] dr dz. \quad (2)$$

Для конфигураций, которые мы здесь рассматриваем, оно вычисляется и составляет  $B = (n/\pi) F(0)$ . Конфигурации, в которых  $F(0) = \pi$ ,  $F(\infty) = 0$  и  $U = -1$  лишь в одной точке,  $R = 0$ , имеют барнионное число  $B = n$ . Минимизация энергии с помощью метода, использовавшегося в работах <sup>3, 4</sup>, приводит к массам солитонов с  $B = 2, 3, 4$  и  $5$  равным 1660, 2530, 3452 и 4420 МэВ соответственно,  $M_n - nM_1 = -70, -65, -8, 95$  МэВ ( $F_\pi = 108$  МэВ,  $e = 4,84$ , масса солитона с  $B = 1$   $M_1 = 865$  МэВ<sup>3</sup>). Поскольку члены в выражении для плотности массы (1), пропорциональные  $n^2$ , содержат множителем  $1/r^2$ , энергетически выгодны конфигурации с большими  $r$ , чем в сферически симметричном случае,  $n = 1$ , и как результат, распределение по массе имеет форму диффузного тора, который утолщается и увеличивается в размере с ростом  $n = B$  (рис. 1). Распределение полей в плоскости  $(z, r)$  представлено на рис. 2, на рис. 3 показано поведение функции профиля  $F$  на осях  $z$  и  $r$ .

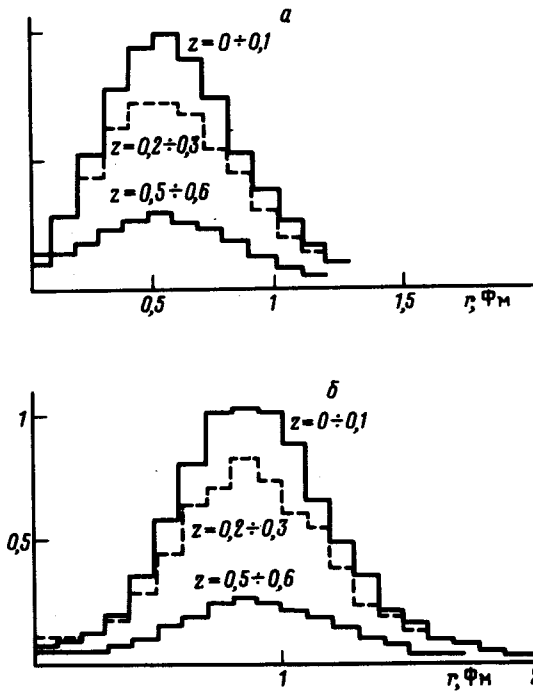


Рис. 1

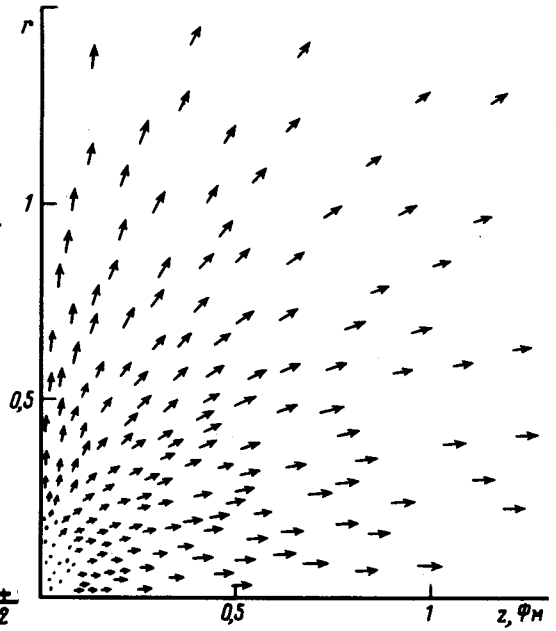


Рис. 2

Рис. 1. Плотность распределения массы в зависимости от расстояния до оси симметрии для интервалов  $z \neq 0 - 0,1; 0,2 - 0,3$  и  $0,5 - 0,6$  Фм: а -  $n = 2$ , б -  $n = 3$  (относительные единицы)

Рис. 2. Картина кирального поля в плоскости  $(z, r)$  для  $n = 2$ . Длина стрелок пропорциональна  $\sin F$

Для того, чтобы вычислить энергию системы в зависимости от ее квантовых чисел (спин-изоспина), необходимо произвести квантование вращения, отказавшись от предположения о сферической симметрии, которое использовалось в <sup>3</sup>. Изоспиновое вращение с помощью матриц  $A(t)$  и вращение системы координат  $R'_i = O_{ik} R_k$ ,  $O_{ik} = \frac{1}{2} \text{Tr} A'^+ \tau_i A' \tau_k$  в нашем случае неэквивалентны друг другу. Энергия вращения как функция угловых скоростей име-

ет вид:

$$E_{\text{rot}} = \lambda_z (\omega_z + n\Omega_z)^2 + \lambda_r (\omega_x^2 + \omega_y^2) + \Lambda_r (\Omega_x^2 + \Omega_y^2) \quad (3)$$

$$A^+ \dot{A} = i\vec{r}\vec{\omega}; \quad A'^+ \dot{A}' = i\vec{r}\vec{\Omega}, \quad \dot{A} = \partial A / \partial t,$$

где моменты инерции равны<sup>1)</sup>

$$\lambda_z = \frac{1}{2} \int s_F^2 s_\alpha^2 \left\{ F_\pi^2 + \frac{4}{e^2} [(F, F) + s_F^2 (\alpha, \alpha)] \right\} d^3 r, \quad (4a)$$

$$\lambda_r = \frac{1}{4} \int s_F^2 \left\{ F_\pi^2 (1 + c_\alpha^2) + \frac{4}{e^2} \left[ (F, F)(1 + c_\alpha^2) + (\alpha, \alpha) s_F^2 c_\alpha^2 + \frac{n^2}{r^2} s_F^2 s_\alpha^2 \right] \right\} d^3 r, \quad (4б)$$

$$\begin{aligned} \Lambda_r = & \frac{1}{4} \int \left\{ F_\pi^2 [s_F^2 (z\dot{\alpha} - r\alpha')^2 + (z\dot{F} - rF')^2 + \frac{n^2 z^2}{r^2} s_F^2 s_\alpha^2] + \right. \\ & + \frac{4s_F^2}{e^2} [(F, F)(z\dot{\alpha} - r\alpha')^2 + \frac{n^2 s_\alpha^2}{r^2} [z^2 ((F, F) + s_F^2 (\alpha, \alpha)) + s_F^2 (z\dot{\alpha} - r\alpha')^2 + \\ & \left. + (z\dot{F} - rF')^2] + (z\dot{F} - rF')[(\alpha, \alpha)(z\dot{F} - rF') - 2(z\dot{\alpha} - r\alpha')(F\dot{\alpha} + F'\alpha')] \right\} d^3 r \end{aligned} \quad (4в)$$

$n \neq 1$ . При  $n = 1$  в энергии (3) имеются также члены, пропорциональные  $\omega_x \Omega_x + \omega_y \Omega_y$ . Подробный вывод этих соотношений будет дан в отдельной работе. Численно при указанных значениях параметров  $\lambda_z = 0,015$  и  $0,018 \text{ МэВ}^{-1}$ ,  $\lambda_r = 0,021$  и  $0,034$ ,  $\Lambda_r = 0,033$  и  $0,077 \text{ МэВ}^{-1}$  для  $B = 2$  и  $3$  соответственно. Вращательная энергия (3) может быть выражена через полный момент  $J$  и изоспин  $J_1$  системы следующим образом ( $n = 2$ )

$$E_{\text{rot}}^{n=2} \approx [17J_z^2 + 48(J_1^2 - J_{1z}^2) + 30(J_2^2 - J_{2z}^2)] \text{ (МэВ)}, \quad (5)$$

$$J_{1z} = n\lambda_z \omega_z, \quad J_{2z} = n^2 \lambda_z \Omega_z,$$

где  $J_2 = J - J_1$ . Для небольших значений  $J, J_1$  ротационная энергия меньше  $220 \text{ МэВ}$  — значения, при превышении которого состояния с  $B = 2$  становится нестабильным. Аналогичный результат имеет место и для  $n = 3, 4$ . Таким образом, учет квантовых поправок на вращение не меняет вывода о стабильности обнаруженных состояний.

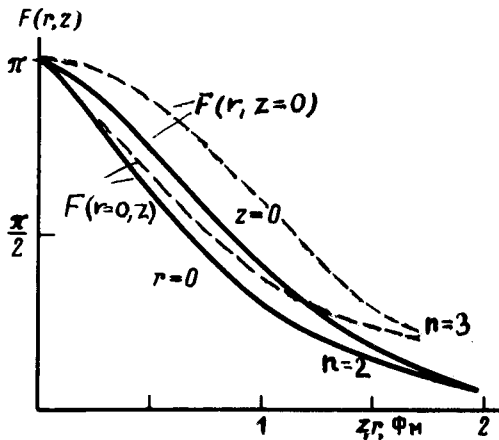


Рис. 3. Изменение функции профиля  $F(z, r)$  вдоль оси  $z$  ( $r = 0$ ) и вдоль оси  $r$  ( $z = 0$ ),  $n = 2$  и  $3$

<sup>1)</sup> Выражения для  $\lambda_z$  и  $\lambda_\omega$  содержатся в докладе <sup>9</sup>.

Классически стабильные состояния возникают и в случае, если солитон стабилизирован не скирмовским членом, а квадратом плотности барионного числа  $B_0^2$ , либо линейной комбинацией скирмовского члена и  $B_0^2$ . При стабилизации посредством  $B_0^2$  для  $n=2$  разность  $2M_1 - M_2 \approx 150$  МэВ, диффузность в распределении по массе возрастает по сравнению с моделью Скирма.

Следующим шагом в изучении найденных состояний может быть переход к более реалистичным моделям, учет вибрационных, дыхательных и других квантовых поправок к энергии, а также выяснение возможной связи обнаруженных конфигураций с конфигурациями, соответствующими двум скирмионам, разведенным на определенное расстояние.

Авторы признательны участникам семинара по теории ядра ФИАН СССР за обсуждение результатов работы, И.С.Шапиро за полезное обсуждение топологических аспектов проблемы и указание на различие в поведении квантовомеханических систем нескольких частиц и обнаруженных состояний в модели Скирма. Авторы благодарны также С.В.Зенкину, Л.А.Кондратьеву, В.М.Лобашеву и в особенности Ю.А.Симонову и И.М.Народецкому за интерес к работе и стимулирующие замечания.

#### Литература

1. *Skyrme T.H.R.* Proc. Roy. Soc., 1961, **A260**, 127.
2. *Witten E.* Nucl. Phys., 1983, **B223**, 422, 433.
3. *Adkins G.S., Nappi C.R., Witten E.* Nucl. Phys., 1983, **B228**, 552.
4. *Зенкин С.В., Копелиович В.Б., Штерн Б.Е.* ЯФ, 1987, **45**, 165.
5. *Рыбаков Ю.П.* Кн.: Проблемы теории гравитации и элемент. частиц, вып. 13, М.: Энергоиздат, 1982, с. 187.
6. *Богомольный Е.Б., Фатеев В.А.* ЯФ, 1983, **37**, 228.
7. *Weigel H., Schwesinger B., Holzwarth G.* Phys. Lett., 1986, **168B**, 321.
8. *Rubakov V.A., Stern B.E., Tinyakov P.G.* Phys. Lett., 1985, **160B**, 292.
9. *Зенкин С.В., Копелиович В.Б., Штерн Б.Е.* IV Симпозиум по взаимодействиям нуклонов промежуточных энергий, ЛИЯФ, апрель 1986 г.